

SSNV230 - Validation de la loi de comportement des aciers 300 sous irradiations en 3D

Résumé :

Ces tests élémentaires ont pour objectif de valider la loi de comportement `IRRAD3M` des aciers sous irradiations en 3D , en activant le fluage d'irradiation et le gonflement.
Il s'agit d'un cas test de non régression.

1 Problème de référence

1.1 Géométrie

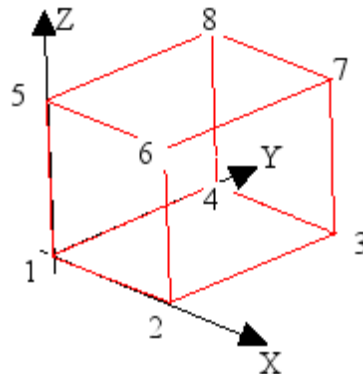


Figure 1.1-a : Géométrie du problème, cube de 1mm de coté.

1.2 Propriétés de matériaux

Les paramètres matériaux utilisés dans ce cas test **ne doivent pas être utilisés pour faire des études**. Ils ne correspondent pas à des caractéristiques réelles.

Les différentes propriétés matériaux sont données ci-dessous, avec :

- T : température en $^{\circ}C$
- $IRRA$: l'irradiation en dpa [R5.03.23]

Module d'Young : $E = 210000.0 - 30.0 T$ en MPa

Coefficient de Poisson : $\nu = 0.30 + 5.0E-05 T$

Coefficient de dilatation thermique : $\alpha = (15.0 + 0.002 T) 1.0E-06$

Partie plastique

$$\kappa = 0.8$$

Limite d'élasticité à 0.2% en MPa : $R_{02} = R_{02}^0 \cdot C_{w_R_e} \cdot I_{r_R_e}$
avec

$$R_{02}^0 = 270.0 - 0.65 T + 0.0010 T^2$$

$$C_{w_R_e} = 1.0$$

$$I_{r_R_e} = \left(4.0 - 3.0 e^{\frac{-IRRA}{3}} \right)$$

Contrainte ultime en MPa : $R_m = R_{02(T, IRRA)} + (R_m^0 - R_{02}^0) \cdot C_{w_R_m} \cdot I_{r_R_m}$
avec

$$R_m^0 = 600.0 - 1.5 T + 0.010 T^2$$

$$C_{w_R_m} = 0.50$$

$$I_{r_R_m} = 0.005 - 0.0020 \left(1.0 - e^{\frac{-IRRA}{8.0}} \right) + e^{\frac{-IRRA}{3.0}}$$

Allongement réparti : $\epsilon_u = \ln(1.0 + \epsilon_u^0 \cdot C_{w_e_u} \cdot I_{r_e_u} \cdot 1.0E-02)$

avec

$$\epsilon_u^0 = 50.0 - 0.15 T + 0.007 T^2$$

$$C_{w_e_u} = 1.0$$

$$I_{r_e_u} = e^{-IRRA}$$

Partie irradiation

$$A_{i0} = 3.0E-06 \text{ MPa}^{-1} \text{ dpa}^{-1}$$

$$\eta_{is} = 1000 \text{ MPa.dpa}$$

Partie gonflement

$$R = 0.0020 \text{ dpa}^{-1}$$

$$\alpha = 1.0$$

$$\phi_0 = 45.0 \text{ dpa} \text{ ou } \phi_0 = 1.0 \text{ dpa}$$

1.3 Conditions aux limites et chargements

Modélisation A

Pour les nœuds 1, 2, 3, 4 : $DX = DY = DZ = 0$

Pour les nœuds 5, 6, 7, 8 : $DX = DY = 0$

On applique de plus une rampe linéaire de température ayant pour maximum 400°C ainsi qu'une rampe linéaire d'irradiation ayant pour maximum 140 dpa (figure 1.3-a).

Les caractéristiques matériaux pour le gonflement sont ceux de la borne inférieure.

Modélisation B

Conditions en déplacement

$$DX = 0, \text{ nœuds : } 1, 4, 5, 8$$

$$DY = 0, \text{ nœuds : } 1, 2, 5, 6$$

$$DZ = 0, \text{ nœuds : } 1, 4, 2, 3$$

Nœuds : 2, 3, 6, 7

$$DX = 0.0 \quad t = 0.0 \text{ sec}$$

$$DX = 3.0E-03 \quad t = 10.0 \text{ sec}$$

$$DX = 3.0E-03 \quad t = 90.0 \text{ sec}$$

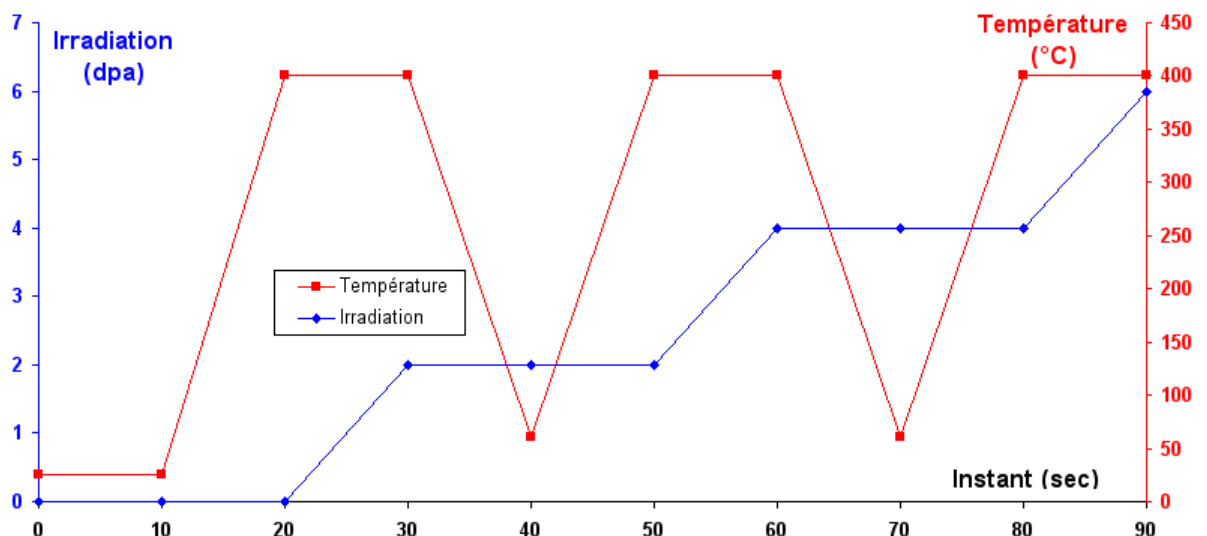
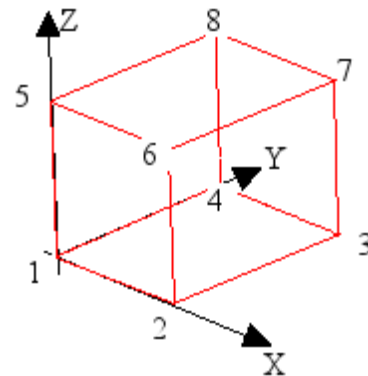


Figure 1.3-a : Conditions en température et en irradiation à tous les nœuds en fonction du temps.

La modélisation est faite une première fois avec les caractéristiques de gonflement qui correspondent à la borne supérieure puis une seconde avec les caractéristiques de gonflement qui correspondent à la borne inférieure.

2 Solution de référence

2.1 Résultats de référence

Chaque modélisation est un cas test de non-régression.

3 Modélisation A

3.1 Caractéristiques de la modélisation

La modélisation utilisée dans le cas test est la suivante : **Élément '3D' (HEXA8)**

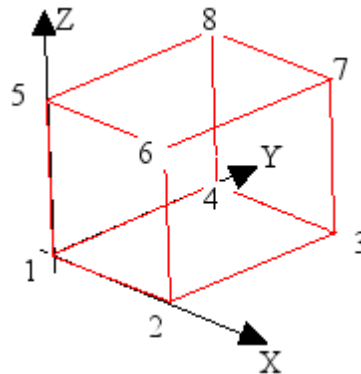


Figure 3.1-a : Géométrie et maillage de la modélisation utilisée.

3.2 Caractéristiques du maillage

Nombre de nœuds : 8
Nombre de mailles et types : 1 HEXA8, 2 QUA4.

3.3 Caractéristiques matériau

Les caractéristiques du matériau sont celles qui ont été indiquées précédemment et $\phi_0 = 45.0$ dpa .

3.4 Grandeurs testées et résultats

Identification	Champ	Grandeur	Référence	Tolérance
t= 20s M1 Point 1	SIEF_ELGA	SIYY	-2,22679599E+02	1.00E-04%
t=100s M1 Point 1	SIEF_ELGA	SIYY	-2,02670376E+02	1.00E-04%
t=200s M1 Point 1	SIEF_ELGA	SIYY	-4,44447078E+02	1.00E-04%
t=100s M1 Point 1	VARI_ELGA	V1	1,12479090E-02	1.00E-04%
t=110s M1 Point 1	VARI_ELGA	V2	1,45524631E+03	1.00E-04%
t=200s M1 Point 1	VARI_ELGA	V2	4,26686655E+04	1.00E-04%
t=200s M1 Point 1	VARI_ELGA	V4	6,33333333E-02	1.00E-04%
t=110s M1 Point 1	VARI_ELGA	V3	1,36573893E-03	1.00E-04%
t=200s M1 Point 1	VARI_ELGA	V3	1,25005997E-01	1.00E-04%

4 Modélisation B

4.1 Caractéristiques de la modélisation

La modélisation utilisée dans le cas test est la suivante : **Éléments '3D' (HEXA8)**

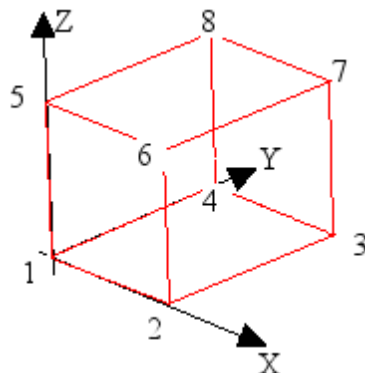


Figure 4.1-a : Géométrie et maillage de la modélisation utilisée.

4.2 Caractéristiques du maillage

Nombre de nœuds : 8
Nombre de mailles et types : 1 HEXA8

4.3 Caractéristiques matériau

Les caractéristiques du matériau sont celles qui ont été indiquées précédemment et $\phi_0 = 1.0$ dpa

4.4 Grandeurs testées et résultat

Identification	Champ	Grandeur	Référence	Tolérance
t=10s Point 1	SIEF_ELGA	SIXX	2,53993074E+02	1.0E-04%
t=20s Point 1	SIEF_ELGA	SIXX	-1,85047588E+02	1.0E-04%
t=30s Point 1	SIEF_ELGA	SIXX	-1,85047588E+02	1.0E-04%
t=40s Point 1	SIEF_ELGA	SIXX	5,99759750E+02	1.0E-04%
t=50s Point 1	SIEF_ELGA	SIXX	-4,97991692E+02	1.0E-04%
t=60s Point 1	SIEF_ELGA	SIXX	-3,21076660E+02	1.0E-04%
t=70s Point 1	SIEF_ELGA	SIXX	7,75854613E+02	1.0E-04%
t=80s Point 1	SIEF_ELGA	SIXX	-3,30523956E+02	1.0E-04%
t=90s Point 1	SIEF_ELGA	SIXX	-9,98659764E+01	1.0E-04%
t=10s Point 1	VARI_ELGA	V1	1,78617408E-03	1.0E-04%
t=20s Point 1	VARI_ELGA	V1	5,56276438E-03	1.0E-04%
t=30s Point 1	VARI_ELGA	V1	5,56276438E-03	1.0E-04%
t=40s Point 1	VARI_ELGA	V1	7,14329016E-03	1.0E-04%
t=50s Point 1	VARI_ELGA	V1	7,14329016E-03	1.0E-04%
t=60s Point 1	VARI_ELGA	V1	7,14329016E-03	1.0E-04%
t=70s Point 1	VARI_ELGA	V1	7,19100378E-03	1.0E-04%
t=80s Point 1	VARI_ELGA	V1	7,19100378E-03	1.0E-04%
t=90s Point 1	VARI_ELGA	V1	7,19100378E-03	1.0E-04%
t=30s Point 1	VARI_ELGA	V2	3,70095175E+02	1.0E-04%
t=40s Point 1	VARI_ELGA	V2	3,70095175E+02	1.0E-04%
t=50s Point 1	VARI_ELGA	V2	3,70095175E+02	1.0E-04%
t=60s Point 1	VARI_ELGA	V2	1,29783675E+03	1.0E-04%
t=70s Point 1	VARI_ELGA	V2	1,29783675E+03	1.0E-04%
t=80s Point 1	VARI_ELGA	V2	1,29783675E+03	1.0E-04%
t=90s Point 1	VARI_ELGA	V2	1,68614985E+03	1.0E-04%
t=60s Point 1	VARI_ELGA	V3	8,93510262E-04	1.0E-04%
t=70s Point 1	VARI_ELGA	V3	8,93510262E-04	1.0E-04%
t=80s Point 1	VARI_ELGA	V3	8,93510262E-04	1.0E-04%
t=90s Point 1	VARI_ELGA	V3	2,05844955E-03	1.0E-04%

4.5 Grandeurs testées et résultats

Identification	Champ	Grandeur	Référence	Tolérance
t=10s Point 1	SIEF_ELGA	SIYY	2,53993074E+02	1.0E-04%
t=20s Point 1	SIEF_ELGA	SIYY	-1,85047588E+02	1.0E-04%
t=30s Point 1	SIEF_ELGA	SIYY	-3,17047588E+02	1.0E-04%
t=40s Point 1	SIEF_ELGA	SIYY	5,97508271E+02	1.0E-04%
t=50s Point 1	SIEF_ELGA	SIYY	-5,00132868E+02	1.0E-04%
t=60s Point 1	SIEF_ELGA	SIYY	-4,10813416E+02	1.0E-04%
t=70s Point 1	SIEF_ELGA	SIYY	6,91429029E+02	1.0E-04%
t=80s Point 1	SIEF_ELGA	SIYY	-4,10813416E+02	1.0E-04%
t=90s Point 1	SIEF_ELGA	SIYY	-2,76944958E+02	1.0E-04%
t=10s Point 1	VARI_ELGA	V1	1,78617408E-03	1.0E-04%
t=20s Point 1	VARI_ELGA	V1	5,56276438E-03	1.0E-04%
t=30s Point 1	VARI_ELGA	V1	5,56276438E-03	1.0E-04%
t=40s Point 1	VARI_ELGA	V1	6,48743752E-03	1.0E-04%
t=50s Point 1	VARI_ELGA	V1	6,48743752E-03	1.0E-04%
t=60s Point 1	VARI_ELGA	V1	6,54594319E-03	1.0E-04%
t=70s Point 1	VARI_ELGA	V1	6,54594319E-03	1.0E-04%
t=80s Point 1	VARI_ELGA	V1	6,54594319E-03	1.0E-04%
t=90s Point 1	VARI_ELGA	V1	6,54594319E-03	1.0E-04%
t=30s Point 1	VARI_ELGA	V2	4,81325700E+02	1.0E-04%
t=40s Point 1	VARI_ELGA	V2	4,81325700E+02	1.0E-04%
t=50s Point 1	VARI_ELGA	V2	4,81325700E+02	1.0E-04%
t=60s Point 1	VARI_ELGA	V2	1,51649548E+03	1.0E-04%
t=70s Point 1	VARI_ELGA	V2	1,51649548E+03	1.0E-04%
t=80s Point 1	VARI_ELGA	V2	1,51649548E+03	1.0E-04%
t=90s Point 1	VARI_ELGA	V2	2,17700281E+03	1.0E-04%
t=60s Point 1	VARI_ELGA	V3	1,54948645E-03	1.0E-04%
t=70s Point 1	VARI_ELGA	V3	1,54948645E-03	1.0E-04%
t=80s Point 1	VARI_ELGA	V3	1,54948645E-03	1.0E-04%
t=90s Point 1	VARI_ELGA	V3	3,53100844E-03	1.0E-04%
t=30s Point 1	VARI_ELGA	V4	6,66666667E-04	1.0E-04%
t=40s Point 1	VARI_ELGA	V4	6,66666667E-04	1.0E-04%
t=50s Point 1	VARI_ELGA	V4	6,66666667E-04	1.0E-04%
t=60s Point 1	VARI_ELGA	V4	1,82355044E-03	1.0E-04%
t=70s Point 1	VARI_ELGA	V4	1,82355044E-03	1.0E-04%
t=80s Point 1	VARI_ELGA	V4	1,82355044E-03	1.0E-04%
t=90s Point 1	VARI_ELGA	V4	3,12896911E-03	1.0E-04%

5 Commentaires

Ces cas tests permettent de valider la loi de comportement IRRAD3M par non-régression.